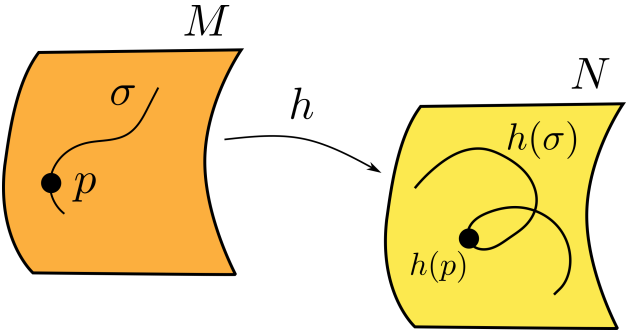


0.1 Przypomnienie

(rys 1)  
Dla  $v \in T_pM$ , jest



Rysunek 1: Przypomnienie

$$h_{\star}v = \frac{d}{dt}h(\sigma(t)) = h'(\sigma(t))\sigma'(t),$$

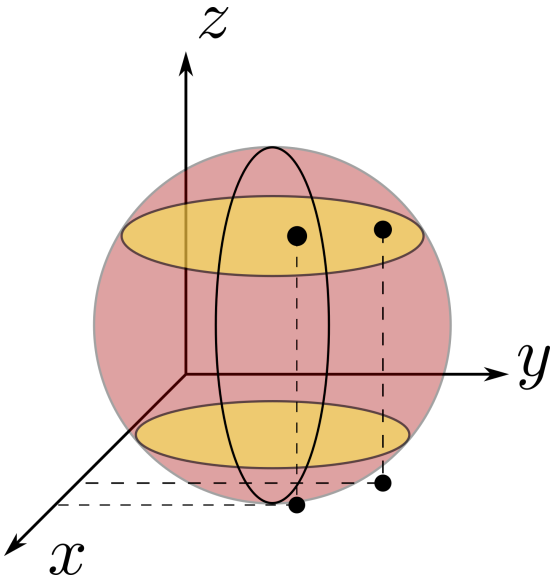
czyli  $v = [\sigma] = \frac{d}{dt}\sigma(t)$ ,

$$h_{\star}v = \begin{matrix} h'(\sigma(t)) \\ \text{macierz kwadratowa} \end{matrix} \quad v.$$

**Przykład 1.** Niech

$$\begin{aligned} S^2 &= \{(x,y,z) \in \mathbb{R}^3, x^2 + y^2 + z^2 = 1\}. \\ U_1^+ &= \{(x,y,z) \in \mathbb{R}^3, x > 0\} \cap S^2. \\ U_1^- &= \{(x,y,z) \in \mathbb{R}^3, x < 0\} \cap S^2. \\ U_2^+ &= \{(x,y,z) \in \mathbb{R}^3, y > 0\} \cap S^2. \\ U_2^- &= \{(x,y,z) \in \mathbb{R}^3, y < 0\} \cap S^2. \\ U_3^+ &= \{(x,y,z) \in \mathbb{R}^3, z > 0\} \cap S^2. \\ U_3^- &= \{(x,y,z) \in \mathbb{R}^3, z < 0\} \cap S^2. \end{aligned}$$

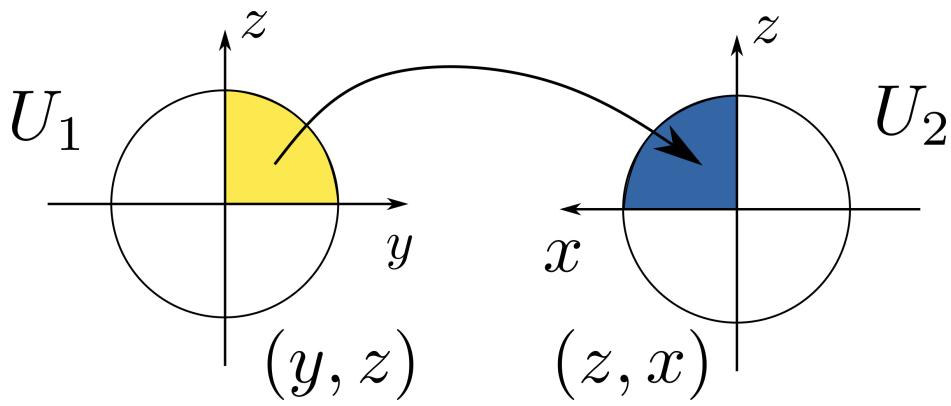
Te mapy przerzucają (rys 2) na np. (rys 3).



Rysunek 2: fig3-2

$$y = \sqrt{1 - x^2 - z^2}$$
$$z = z$$
$$(x > 0, z > 0).$$

$$(z,x) \rightarrow h(z,x) = \begin{bmatrix} z \\ \sqrt{1 - x^2 - z^2} \end{bmatrix}$$



Rysunek 3: fig3-3

$$h' = \begin{bmatrix} \frac{\partial}{\partial z} (\sqrt{1-x^2-z^2}) & \frac{\partial}{\partial x} (\sqrt{1-x^2-z^2}) \\ \frac{\partial}{\partial z} (z) & \frac{\partial}{\partial x} (x) \end{bmatrix} = \begin{bmatrix} \frac{-2z}{2\sqrt{1-x^2-z^2}} & \frac{-2x}{2\sqrt{1-x^2-z^2}} \\ 1 & 0 \end{bmatrix}.$$

$$\det h' = \frac{x}{\sqrt{1-x^2-z^2}} > 0, \quad \begin{matrix} x > 0 \\ z > 0 \end{matrix}.$$

**Przykład 2.** Wstęga Moebiusa zbudowana z walca o wysokości  $2L$  i promieniu  $R$ . (rys 4)

$$\begin{aligned} x(\theta, t) &= \left( R - t \sin \left( \frac{\theta}{2} \right) \right) \sin \theta \\ y(\theta, t) &= \left( R - t \sin \left( \frac{\theta}{2} \right) \right) \cos \theta \\ z(\theta, t) &= \left( t \cos \frac{\theta}{2} \right). \end{aligned}$$

To jeszcze nie jest bijekcja - potrzebna druga mapa.

Mamy  $\theta'$  i  $t'$ .

$$\begin{aligned} x'(\theta', t') &= \left( R - t' \sin \left( \frac{\frac{\pi}{2} + \theta'}{2} \right) \right) \cos \theta' \\ y'(\theta', t') &= - \left( R - t' \sin \left( \frac{\frac{\pi}{2} + \theta'}{2} \right) \right) \sin \theta' \\ z'(\theta', t') &= t' \cos \left( \frac{\frac{\pi}{2} + \theta'}{2} \right). \end{aligned}$$

Obszary wspólne: (rys 5)

$$\begin{aligned} W_1 &= \left\{ 0 < \theta < \frac{\pi}{2} \right\} = \left\{ \frac{3}{2}\pi < \theta' < 2\pi \right\} \\ W_2 &= \left\{ \frac{\pi}{2} < \theta < 2\pi \right\} = \left\{ 0 < \theta' < \frac{3}{2}\pi \right\}. \end{aligned}$$

Dla  $W_1$

$$\begin{cases} \theta' &= \theta + \frac{3}{2}\pi \\ t' &= -t, \end{cases}$$

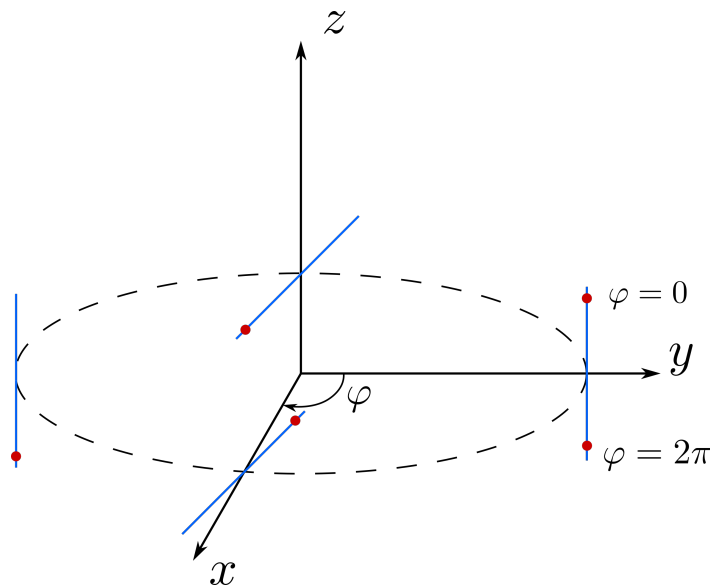
dla  $W_2$

$$\begin{cases} \theta' &= \theta - \frac{\pi}{2} \\ t' &= t. \end{cases}$$

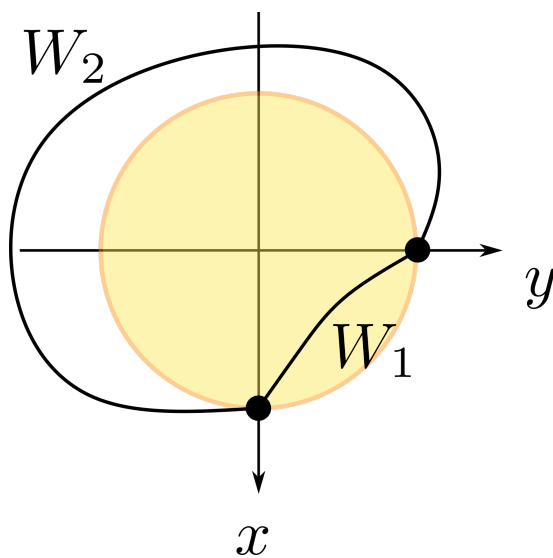
Szukamy macierzy przejścia

$$\varphi'_1(\theta, t) = \begin{bmatrix} 1 & 0 \\ 0 & -1 \end{bmatrix}, \quad \varphi'_2(\theta, t) = \begin{bmatrix} 1 & 0 \\ 0 & 1 \end{bmatrix},$$

$$\det \varphi'_1 < 0 \quad \det \varphi'_2 > 0.$$



Rysunek 4: Gdzie wyląduje biedronka idąc prosto po wstędze?



Rysunek 5: Obszary wspólne

## 0.2 Chcemy dojść do twierdzenia Stokesa na kostce w $\mathbb{R}^n$

1. Niech  $I^n = [0, 1] \times [0, 1] \times \dots \times [0, 1] \in \mathbb{R}^n$  (np. rys 6)

Wprowadźmy oznaczenia:

$$I_{(i,0)}^n := \{ (x^1, \dots, x^{i-1}, 0, x^{i+1}, \dots, x^n) \in \mathbb{R}^n, 0 \leq x^j \leq 1 \}.$$

$$I_{(i,1)}^n := \{ (x^1, \dots, x^{i-1}, 1, x^{i+1}, \dots, x^n) \in \mathbb{R}^n, 0 \leq x^j \leq 1 \}.$$

(odpowiednio: ścianka tylna i przednia)

$$\partial I^2 \stackrel{\text{def}}{=} I_{(2,0)}^2 = "I_{(1,1)}^2" + " - I_{(2,1)}^2" + " - I_{(1,0)}^2,$$

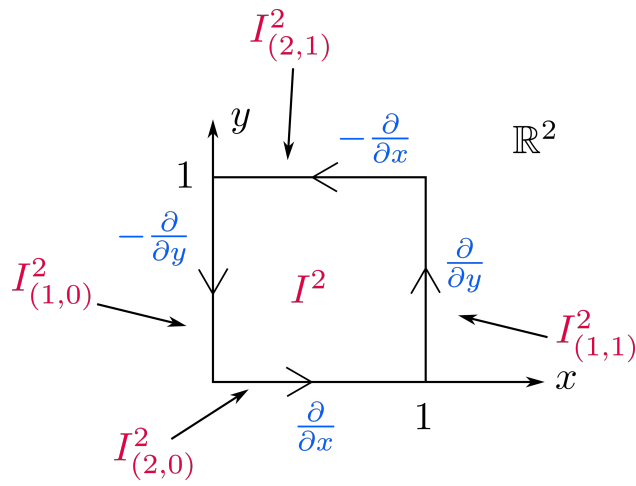
(tutaj przepis na dodawanie na rysunku 6)

- ścianki takie zawsze będą przeciwnej orientacji.

Zdefiniujmy "zbiór"

$$\partial I^n = \sum_{i=1}^n \sum_{\alpha=0,1} (-1)^{\alpha+i} I_{i,\alpha}^n,$$

który nazwiemy brzegiem zorientowanym kostki  $I^n$ .



Rysunek 6: fig3-6

Niech  $M$  - rozmaitość,  $\dim M = n$ ,  $I^n \in M$ . Niech  $\omega \in \Lambda^{n-1}(M)$ . Chcemy obliczyć  $\int_{\partial I^n} \omega$ . Dowolna  $n-1$  forma z  $\Lambda^{n-1}(M)$  ma postać

$$\begin{aligned} \omega = & f_1(x^1, \dots, x^n) dx^2 \wedge \dots \wedge dx^n + \\ & + f_2(x^1, \dots, x^n) dx^1 \wedge dx^3 \wedge \dots \wedge dx^n + \dots + \\ & + f_i(x^1, \dots, x^n) dx^1 \wedge \dots \wedge dx^{i-1} \wedge dx^{i+1} \wedge \dots \wedge dx^n + \dots + \\ & + f_n(x^1, \dots, x^n) dx^1 \wedge \dots \wedge dx^{n-1}. \end{aligned}$$

Ponieważ  $\int_{\partial I^n} \omega$  rozbije się na  $n$  składników, wystarczy, że udowodnimy Tw. Stokesa dla

$$\omega = f(x^1, \dots, x^n) dx^1 \wedge \dots \wedge dx^{i-1} \wedge dx^{i+1} \wedge \dots \wedge dx^n.$$

Obliczmy

$$\begin{aligned} \int_{\partial I^n} \omega &= \sum_{j=1}^n \sum_{\alpha=0,1} (-1)^{j+\alpha} \int_{I^n(j,\alpha)} \left\langle f(x^1, \dots, x^n) dx^1 \wedge \dots \wedge dx^{i-1} \wedge dx^{i+1} \wedge \dots \wedge dx^n, \frac{\partial}{\partial x^1}, \dots, \frac{\partial}{\partial x^{j-1}}, \frac{\partial}{\partial x^{j+1}}, \dots, \frac{\partial}{\partial x^n} \right\rangle \\ &\quad dx^1 \dots dx^{j-1} dx^{j+1} \dots dx^n = \\ &= \begin{cases} 0 & i \neq j \\ \sum_{j=1}^n \sum_{\alpha=0,1} (-1)^{j+\alpha} \int_{I^n_{j,\alpha}} f(x^1, \dots, x^n) dx^1 \dots dx^{j-1} dx^{j+1} \dots dx^n & i = j \end{cases} \quad \text{wp.p..} \end{aligned}$$